

火山噴火の降灰ハザードによる崩壊熱除去機能への影響評価試験の予備検討
火山灰供給によるフィルタ性能変化確認試験時写真
プレフィルタ 風量56m³/min 火山灰濃度70mg/m³



写真-1 試験前 フィルタ上流面



写真-2 試験前 フィルタ下流面



写真-3 試験後 フィルタ上流面



写真-4 試験後 フィルタ下流面

火山噴火の降灰ハザードによる崩壊熱除去機能への影響評価試験の予備検討
火山灰供給によるフィルタ性能変化確認試験時写真
プレフィルタ 風量56m³/min 火山灰濃度700mg/m³



写真-5 試験前 フィルタ上流面



写真-6 試験前 フィルタ下流面



写真-7 試験後 フィルタ上流面



写真-8 試験後 フィルタ下流面

火山噴火の降灰ハザードによる崩壊熱除去機能への影響評価試験の予備検討
火山灰供給によるフィルタ性能変化確認試験時写真
プレフィルタ 風量56m³/min 火山灰濃度7000mg/m³



写真-9 試験前 フィルタ上流面



写真-10 試験前 フィルタ下流面



写真-11 試験後 フィルタ上流面



写真-12 試験後 フィルタ下流面

火山噴火の降灰ハザードによる崩壊熱除去機能への影響評価試験の予備検討
火山灰供給によるフィルタ性能変化確認試験時写真
プレフィルタ 風量 $28\text{m}^3/\text{min}$ 火山灰濃度 $70\text{mg}/\text{m}^3$



写真-13 試験前 フィルタ上流面



写真-14 試験前 フィルタ下流面



写真-15 試験後 フィルタ上流面

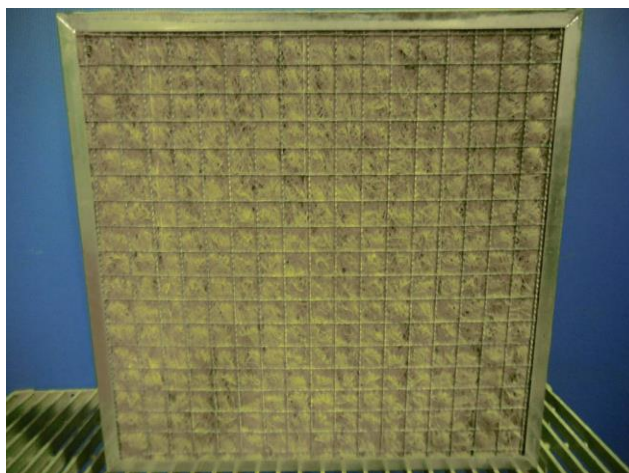


写真-16 試験後 フィルタ下流面

火山噴火の降灰ハザードによる崩壊熱除去機能への影響評価試験の予備検討
火山灰供給によるフィルタ性能変化確認試験時写真
プレフィルタ 風量 $28\text{m}^3/\text{min}$ 火山灰濃度 $700\text{mg}/\text{m}^3$



写真-17 試験前 フィルタ上流面



写真-18 試験前 フィルタ下流面



写真-19 試験後 フィルタ上流面



写真-20 試験後 フィルタ下流面

火山噴火の降灰ハザードによる崩壊熱除去機能への影響評価試験の予備検討
火山灰供給によるフィルタ性能変化確認試験時写真
プレフィルタ 風量 $28\text{m}^3/\text{min}$ 火山灰濃度 $7000\text{mg}/\text{m}^3$



写真-21 試験前 フィルタ上流面



写真-22 試験前 フィルタ下流面



写真-23 試験後 フィルタ上流面



写真-24 試験後 フィルタ下流面

火山噴火の降灰ハザードによる崩壊熱除去機能への影響評価試験の予備検討
火山灰供給によるフィルタ性能変化確認試験時写真
中性能フィルタ 風量56m³/min 火山灰濃度70mg/m³



写真-25 試験前 フィルタ上流面



写真-26 試験前 フィルタ下流面



写真-27 試験後 フィルタ上流面



写真-28 試験後 フィルタ下流面

火山噴火の降灰ハザードによる崩壊熱除去機能への影響評価試験の予備検討
火山灰供給によるフィルタ性能変化確認試験時写真
中性能フィルタ 風量56m³/min 火山灰濃度700mg/m³



写真-29 試験前 フィルタ上流面



写真-30 試験前 フィルタ下流面



写真-31 試験後 フィルタ上流面



写真-32 試験後 フィルタ下流面

火山噴火の降灰ハザードによる崩壊熱除去機能への影響評価試験の予備検討
火山灰供給によるフィルタ性能変化確認試験時写真
中性能フィルタ 風量56m³/min 火山灰濃度7000mg/m³



写真-33 試験前 フィルタ上流面



写真-34 試験前 フィルタ下流面



写真-35 試験後 フィルタ上流面



写真-36 試験後 フィルタ下流面

火山噴火の降灰ハザードによる崩壊熱除去機能への影響評価試験の予備検討
火山灰供給によるフィルタ性能変化確認試験時写真
中性能フィルタ 風量 $28\text{m}^3/\text{min}$ 火山灰濃度 $70\text{mg}/\text{m}^3$



写真-37 試験前 フィルタ上流面



写真-38 試験前 フィルタ下流面



写真-39 試験後 フィルタ上流面



写真-40 試験後 フィルタ下流面

火山噴火の降灰ハザードによる崩壊熱除去機能への影響評価試験の予備検討
火山灰供給によるフィルタ性能変化確認試験時写真
中性能フィルタ 風量28m³/min 火山灰濃度700mg/m³



写真-41 試験前 フィルタ上流面



写真-42 試験前 フィルタ下流面



写真-43 試験後 フィルタ上流面



写真-44 試験後 フィルタ下流面

火山噴火の降灰ハザードによる崩壊熱除去機能への影響評価試験の予備検討
火山灰供給によるフィルタ性能変化確認試験時写真
中性能フィルタ 風量 $28\text{m}^3/\text{min}$ 火山灰濃度 $7000\text{mg}/\text{m}^3$



写真-45 試験前 フィルタ上流面



写真-46 試験前 フィルタ下流面



写真-47 試験後 フィルタ上流面



写真-48 試験後 フィルタ下流面

火山噴火の降灰ハザードによる崩壊熱除去機能への影響評価試験の予備検討
火山灰供給によるフィルタ性能変化確認試験時写真
プレ+中性能フィルタ 風量56m³/min 火山灰濃度70mg/m³



写真-49 試験前 プレフィルタ上流面



写真-50 試験前 プレフィルタ下流面



写真-51 試験前 中性能フィルタ上流面



写真-52 試験前 中性能フィルタ下流面

火山噴火の降灰ハザードによる崩壊熱除去機能への影響評価試験の予備検討
火山灰供給によるフィルタ性能変化確認試験時写真
プレ+中性能フィルタ 風量56m³/min 火山灰濃度70mg/m³



写真-53 試験後 プレフィルタ上流面



写真-54 試験後 プレフィルタ下流面



写真-55 試験後 中性能フィルタ上流面



写真-56 試験後 中性能フィルタ下流面

火山噴火の降灰ハザードによる崩壊熱除去機能への影響評価試験の予備検討
火山灰供給によるフィルタ性能変化確認試験時写真
プレ+中性能フィルタ 風量56m³/min 火山灰濃度700mg/m³



写真-57 試験前 プレフィルタ上流面



写真-58 試験前 プレフィルタ下流面



写真-59 試験前 中性能フィルタ上流面



写真-60 試験前 中性能フィルタ下流面

火山噴火の降灰ハザードによる崩壊熱除去機能への影響評価試験の予備検討
火山灰供給によるフィルタ性能変化確認試験時写真
プレ+中性能フィルタ 風量56m³/min 火山灰濃度700mg/m³



写真-61 試験後 プレフィルタ上流面



写真-62 試験後 プレフィルタ下流面



写真-63 試験後 中性能フィルタ上流面



写真-64 試験後 中性能フィルタ下流面

火山噴火の降灰ハザードによる崩壊熱除去機能への影響評価試験の予備検討
火山灰供給によるフィルタ性能変化確認試験時写真
プレ+中性能フィルタ 風量56m³/min 火山灰濃度7000mg/m³



写真-65 試験前 プレフィルタ上流面



写真-66 試験前 プレフィルタ下流面



写真-67 試験前 中性能フィルタ上流面



写真-68 試験前 中性能フィルタ下流面

火山噴火の降灰ハザードによる崩壊熱除去機能への影響評価試験の予備検討
火山灰供給によるフィルタ性能変化確認試験時写真
プレ+中性能フィルタ 風量56m³/min 火山灰濃度7000mg/m³



写真-69 試験後 プレフィルタ上流面



写真-70 試験後 プレフィルタ下流面



写真-71 試験後 中性能フィルタ上流面



写真-72 試験後 中性能フィルタ下流面

火山噴火の降灰ハザードによる崩壊熱除去機能への影響評価試験の予備検討
火山灰供給によるフィルタ性能変化確認試験時写真
プレ+中性能フィルタ 風量28m³/min 火山灰濃度70mg/m³



写真-73 試験前 プレフィルタ上流面



写真-74 試験前 プレフィルタ下流面



写真-75 試験前 中性能フィルタ上流面



写真-76 試験前 中性能フィルタ下流面

火山噴火の降灰ハザードによる崩壊熱除去機能への影響評価試験の予備検討
火山灰供給によるフィルタ性能変化確認試験時写真
プレ+中性能フィルタ 風量28m³/min 火山灰濃度70mg/m³



写真-77 試験後 プレフィルタ上流面



写真-78 試験後 プレフィルタ下流面



写真-79 試験後 中性能フィルタ上流面



写真-80 試験後 中性能フィルタ下流面

火山噴火の降灰ハザードによる崩壊熱除去機能への影響評価試験の予備検討
火山灰供給によるフィルタ性能変化確認試験時写真
プレ+中性能フィルタ 風量28m³/min 火山灰濃度700mg/m³



写真-81 試験前 プレフィルタ上流面



写真-82 試験前 プレフィルタ下流面



写真-83 試験前 中性能フィルタ上流面



写真-84 試験前 中性能フィルタ下流面

火山噴火の降灰ハザードによる崩壊熱除去機能への影響評価試験の予備検討
火山灰供給によるフィルタ性能変化確認試験時写真
プレ+中性能フィルタ 風量28m³/min 火山灰濃度700mg/m³



写真-85 試験後 プレフィルタ上流面



写真-86 試験後 プレフィルタ下流面



写真-87 試験後 中性能フィルタ上流面



写真-88 試験後 中性能フィルタ下流面

火山噴火の降灰ハザードによる崩壊熱除去機能への影響評価試験の予備検討
火山灰供給によるフィルタ性能変化確認試験時写真
プレ+中性能フィルタ 風量28m³/min 火山灰濃度7000mg/m³



写真-89 試験前 プレフィルタ上流面

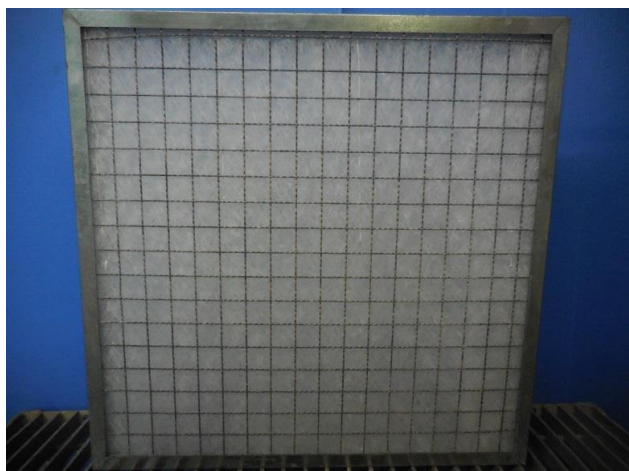


写真-90 試験前 プレフィルタ下流面

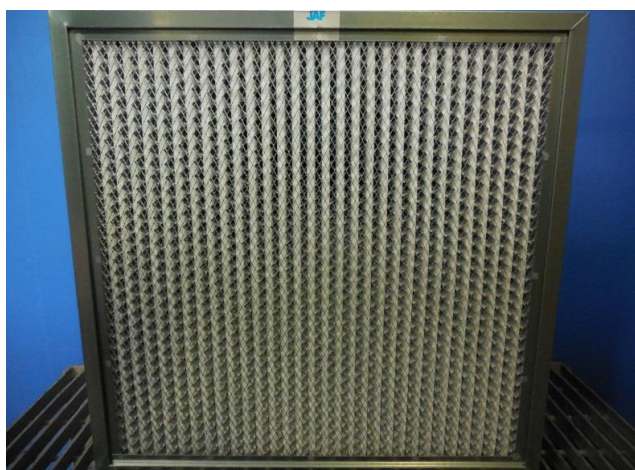


写真-91 試験前 中性能フィルタ上流面



写真-92 試験前 中性能フィルタ下流面

火山噴火の降灰ハザードによる崩壊熱除去機能への影響評価試験の予備検討
火山灰供給によるフィルタ性能変化確認試験時写真
プレ+中性能フィルタ 風量28m³/min 火山灰濃度7000mg/m³

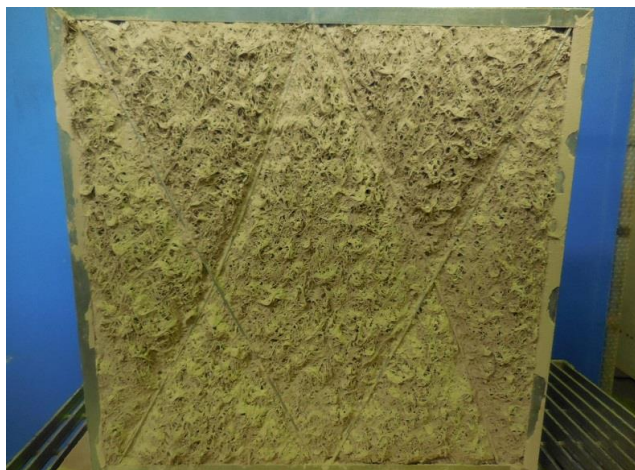


写真-93 試験後 プレフィルタ上流面



写真-94 試験後 プレフィルタ下流面



写真-95 試験後 中性能フィルタ上流面



写真-96 試験後 中性能フィルタ下流面

火山噴火の降灰ハザードによる崩壊熱除去機能への影響評価試験の予備検討
火山灰供給によるフィルタ破損確認試験時写真
中性能フィルタ 風量56m³/min 火山灰濃度700mg/m³



写真-97 圧力損失 300Pa時



写真-98 圧力損失 600Pa時



写真-99 圧力損失 900Pa時

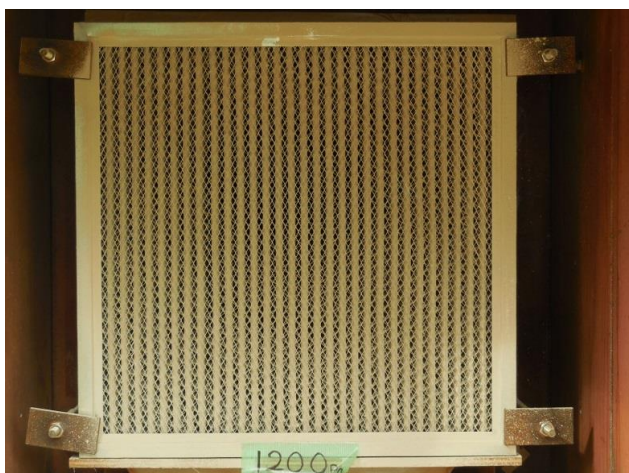


写真-100 圧力損失 1200Pa時

火山噴火の降灰ハザードによる崩壊熱除去機能への影響評価試験の予備検討
火山灰供給によるフィルタ破損確認試験時写真
中性能フィルタ 風量56m³/min 火山灰濃度700mg/m³



写真-101 圧力損失 1500Pa時



写真-102 圧力損失 1800Pa時



写真-103 圧力損失 2100Pa時

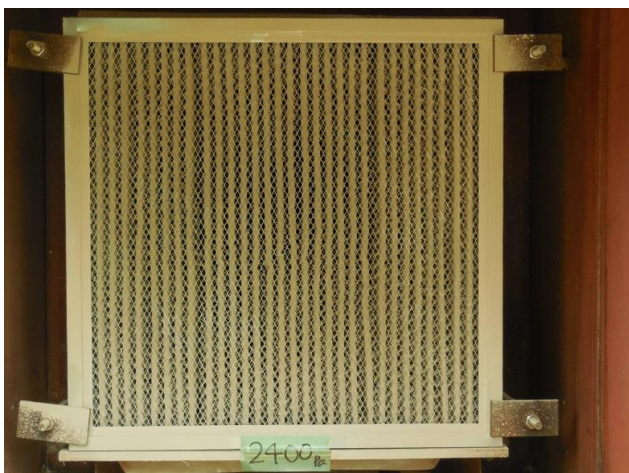


写真-104 圧力損失 2400Pa時

火山噴火の降灰ハザードによる崩壊熱除去機能への影響評価試験の予備検討
火山灰供給によるフィルタ破損確認試験時写真
中性能フィルタ 風量56m³/min 火山灰濃度700mg/m³



写真-105 圧力損失 2700Pa時